

IMÁGENES EN PEDIATRÍA

Alteraciones en resonancia magnética asociadas a tratamiento con vigabatrina



Magnetic resonance imaging abnormalities associated with vigabatrin therapy

Manuel Lubián-Gutiérrez^{a,b,e,*}, Isabel Benavente-Fernández^{c,d,e}, Amaya Zuazo-Ojeda^{d,e} y Simón Pedro Lubián-López^{c,d,e}

^a Departamento de Pediatría y sus áreas específicas, Hospital Universitario Puerta del Mar, Cádiz, España

^b Centro de Salud Dr. Cayetano Roldán, San Fernando, Cádiz, España

^c Unidad de Neonatología, Departamento de Pediatría y sus áreas específicas, Hospital Universitario Puerta del Mar, Cádiz, España

^d Fundación NeNe, Madrid, España

^e Departamento de Radiodiagnóstico, Hospital Universitario Puerta del Mar, Cádiz, España

Disponible en Internet el 13 de diciembre de 2020

Lactante de 8 meses al que se realiza una RM por sospecha de malfunción valvular. Se evidencian cambios en la intensidad de señal en ambos tálamos, globos pálidos, núcleos dentados y troncoencéfalo, que no aparecían en las RM previas y no asociados a cambios clínicos.

Intervenido tras el nacimiento por mielomeningocele con inserción de válvula de derivación ventrículo-peritoneal. A los 6 meses presenta espasmos en flexión con hipsarritmia en el trazado electroencefalográfico, siendo diagnosticado de síndrome de West. Se inició tratamiento con ácido valproico, ACTH y posteriormente vigabatrina, alcanzando dosis máxima de 100 mg/kg.

La RM se realiza por sospecha de malfunción valvular tras un mes de tratamiento con vigabatrina. Los hallazgos

sugieren edema citotóxico: hiperintensidad de señal bilateral y simétrica en secuencias ponderadas en T2 en ambos tálamos, globos pálidos, núcleos dentados y troncoencéfalo (**figs. 1A y B**). En la secuencia de difusión se observa hiperintensidad de señal (**fig. 1C**) con caída del coeficiente aparente de difusión (ADC) en estas regiones (**fig. 1C**).

Vigabatrina actúa como inhibidor irreversible de la GABA transaminasa, aumentando la concentración de GABA. Constituye uno de los tratamientos de primera línea de los espasmos epilépticos¹. Estudios histológicos en animales ponen de manifiesto edema intramielínico y microvacuolización tras el tratamiento con vigabatrina². La incidencia de anomalías transitorias en la RM asociadas al tratamiento con vigabatrina es del 22–32%, cursa sin clínica asociada, es reversible y es dosis-dependiente³.

El reconocimiento de las alteraciones reversibles en neuroimagen asociadas a vigabatrina es importante y se debe tener en cuenta en el diagnóstico diferencial de las lesiones en núcleos profundos.

* Autor para correspondencia.

Correo electrónico: [\(M. Lubián-Gutiérrez\).](mailto:manu.lubian@gmail.com)

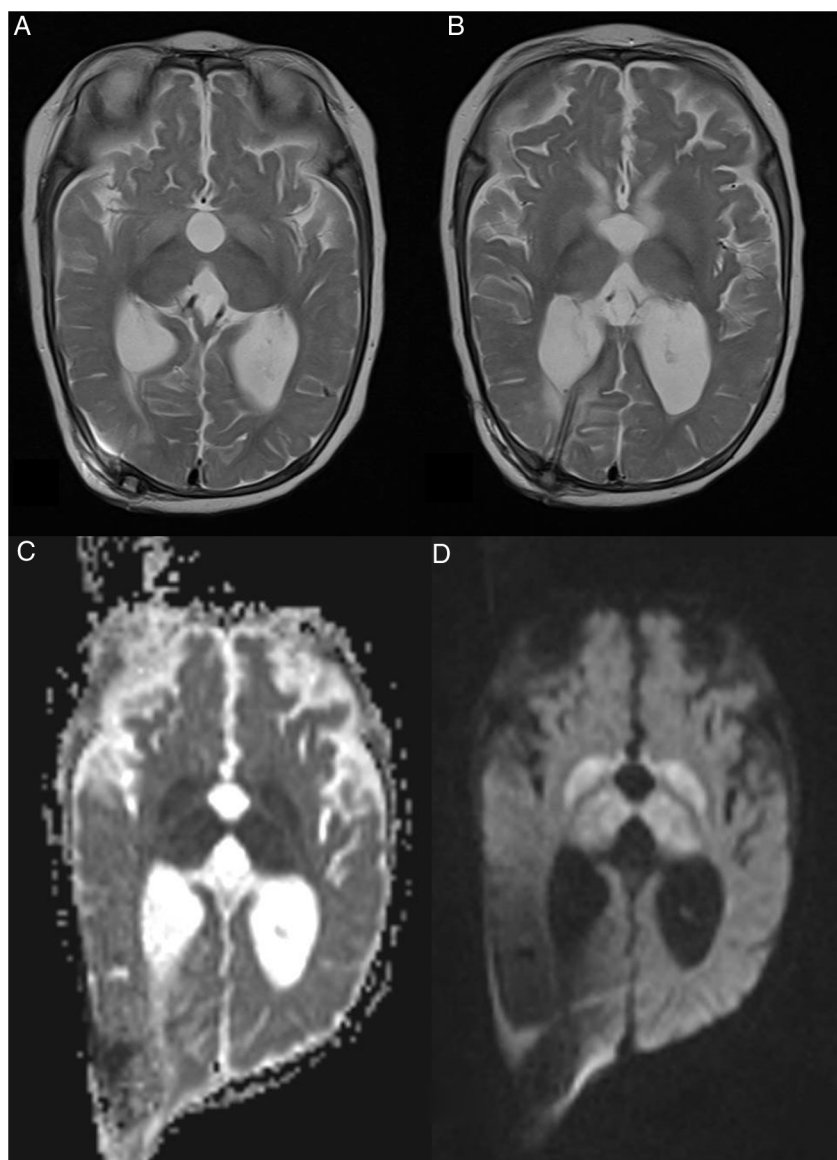


Figura 1 RM cerebral realizada a los 8 meses. A y B) Secuencia ponderada en T2 en la que se aprecia hiperintensidad bilateral de globos pálidos y tálamos. C) Mapa ADC que muestra restricción a la difusión de ambos globos pálidos y tálamos de forma simétrica. D) Imagen ponderada en difusión (DWI) en la que se observa hiperintensidad de globos pálidos y tálamos.

Bibliografía

1. Wilmhurst JM, Gaillard WD, Vinayan KP, Tsuchida TN, Plouin P, van Bogaert P, et al. Summary of recommendations for the management of infantile seizures: Task Force Report for the ILAE Commission of Pediatrics. *Epilepsia*. 2015;56:1185–97.
2. Preece NE, Houseman J, King MD, Weller RO, Williams SR. Development of vigabatrin-induced lesions in the rat brain studied by magnetic resonance imaging, histology, and immunocytochemistry. *Synapse*. 2004;53:36–43.
3. Hussain K, Walsh TJ, Chazen JL. Brain MRI findings with vigabatrin therapy: Case report and literature review. *Clin Imaging*. 2016;40:180–2.